

Полиметаллын хүдрийн дээжид үндсэн болон дагалдах элемент тодорхойлох судалгаа

Г.Дамдинсүрэн^{1,2,*}, Н.Отгонпүрэв¹, П.Зузаан¹, О.Сүх¹

¹Цөмийн Физикийн Судалгааны Төв, Монгол Улсын Их Сургууль

²Хэрэглээний Шинжлэх Ухаан Инженерчлэлийн Сургууль, Монгол Улсын Их Сургууль

Судалгааны ажлаар Дорнод аймагт байрлах Улааны полиметаллын ордын цөөн дээжид нейтрон идэвхжлийн болон рентгенфлуоресценцийн шинжилгээгээр үндсэн элементтээс гадна ховор шорооны, мөн үнэт металл тодорхойлох зорилго тавин ажиллав. Нейтрон идэвхжлийн шинжилгээний туршилт хэмжилтийг ОХУ – д байрлах ЦШНИ – ийн Цөмийн урвалын лабораторийн электроны хурдаасгуур МТ-25 микротрон, гамма спектрометрийн системийг ашиглан хийсэн ба рентгенфлуоресценцийн шинжилгээг МУИС – ийн ЦФСТ – ийн рентген спектрометр дээр хийж гүйцэтгэв. Хэмжилтээр полиметаллын худрийн дээжид үндсэн элементтээс гадна Sc, Y, La, Ce, Eu, Nd зэрэг ховор шорооны элемент, алт 0.05 – 1 ppm, уран 200 – 500 ppm, тори 10 – 90 ppm агуулгатай гарсан нь сонирхол татахуйц үр дүн юм. Судалгааг цааш үргэлжлүүлэн шинжилгээний бусад аргаар элементийн агуулгыг нарийвчлан тогтоох, бүтээгдэхүүний ортгийг измэгдүүлэх боломжтой харагдав. Энэхүү судалгааны ажлыг “Цөмийн цацрагийн хэрэглээ” сэдэвт ажлын хүрээнд хийж гүйцэтгэв.

I. ОРШИЛ

Сүүлийн жилүүдэд манай оронд уул уурхайн үйлдвэр эрчимтэй хөгжиж ховор шороо, ураны болон өнгөт металлын зэрэг байгалийн баялгийн олборлолт эрс нэмэгдэж байна. Үүнтэй уялдан геологийн эрэл хайгуулын ажил хийх, орд газрын нөөц тогтоох, баяжуулах болон олборлох үйлдвэрлэлийн технологийн процессыг удирдан хянах, тэрчлэн үйлдвэрийн бүтээгдэхүүн, хаягдалд элементийн агуулгыг нарийн тогтоох явдал чухал болсоор байна. Дэлхийн жишгээс харахад орчин үед ялангуяа, уул уурхайн үйлдвэрийн технологийн процессыг хянахад атом, цөмийн шинжилгээний аргыг өргөн хэрэглэж байна [1].

Аливаа дээж дэх элементийг тодорхойлоход гамма идэвхжлийн, нейтрон идэвхжлийн, рентгенфлуоресценцийн, атомын шингээлтийн, цацаргалтын зэрэг багажит техникийн олон аргыг олон улсад ашиглаж байна [2-4]. Атом, цөмийн физикийн аргууд нь хугацаа бага зарцуулдаг, химийн урвалж материал хэрэглэдэггүй, үр дүнг боловсруулахад хялбар зэрэг давуу талтай.

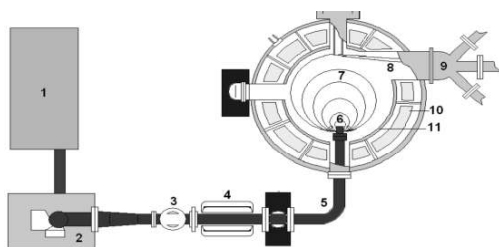
Рентгенфлуоресценцийн анализын арга нь мэдрэмж өндөртэй, дээж бэлтгэх боловсруулах арга ажиллагаа хялбар, хурдан шуурхай зэрэг давуу талтай [5-7] бол нейтрон идэвхжлийн шинжилгээний арга нь судалгааны дээжийг эвдэхгүйгээр янз бурийн төлөвт судалдаг, олон

элементийг нэгэн зэрэг өндөр нарийвчлалтай тодорхойлдгоороо бусад аргуудаас давуу юм. Энэ ажлаар ОХУ-ын Дубна хотын ЦШНИ-ийн цөмийн урвалын лабораторийн Микротрон МТ-25 дээр шарж идэвхжүүлсэн Дорнод аймагт байрлах Улааны полиметаллын ордын цөөн дээжид НИА-аар, мөн ЦФСТ – ийн рентгенфлуоресценцийн спектрометрийг тус тус ашиглан үндсэн элементтээс гадна ховор шорооны элемент, бусад үнэт элементийг илрүүлэх, агуулгыг тодорхойлох, цаашлаад бүтээгдэхүүний өргтийг нэмэгдүүлэх боломжийг харуулахыг зорив.

II. НЕЙТРОН ИДЭВХЖЛИЙН ШИНЖИЛГЭЭ

А. Электроны хурдасгүүр микротрон МТ-25
Микротрон МТ-25 хурдасгүүрт электрон 25 МэВ энергитэй болтлоо хурдасна. Хурдассан электроны замд тантал (Ta) байг байрлуулахад электроны хурд саарч 0-25 МэВ хүртэл тасралтгүй спектртэй тормозын гамма цацраг гарна. Ийм энергитэй гамма цацрагийг Pb, U, Bi, Au зэрэг хүнд цөмтэй байд тусгахад фотоДурвалаар хурдан нейтрон гардаг. Уг нейтроныг фото-нейтрон гэх ба энерги мөн 0-25 МэВ хүртэл тасралтгүй утгатай байна [8]. Электроны цикл хурдасгүүр МТ-25 бүдүүвч схемийг зураг 1 –т харуулав.

* Electronic address: g.damdinshuren@seas.num.edu.mn



Зураг 1. Электроны хурдасгүүр Микротрон. 1-модуляторын блок, 2-генераторын блок, 3-фаз тохицуулагч, 4-ферритэн хаалт, 5-долгион дамжуулагч, 6-резонатор, 7-электроны орбит, 8-электроны ургал гаргах систем, 9-хуваарилал камера, 10-ороомог, 11-хурдасгах камера

Хүснэгт 1. Хурдасгүүрын үндсэн үзүүлэлт

| | |
|--|-----------------|
| Электроны хамгийн их энерги, МэВ | 25 |
| Электроны импульсийн гүйдэл, мА | 25 |
| Электроны хамгийн их гүйдэл, мкА | 25 |
| Электроны импульсийн урт, мкс | 2,2 |
| Гамма кванттын гаралт, с^{-1} | 10^{14} |
| Дулааны нейтроны ургалын нягт, $1/\text{см}^2\text{с}$ | 10^9 |
| Завсралын нейтроны ургалын нягт, $1/\text{см}^2\text{с}$ | 5×10^7 |
| Хурдан нейтроны ургалын нягт, с^{-1} | 10^{12} |
| Чадал, кВт | 20 |

Микротроны гамма квант бай дээр тусахад фотоземийн (γ, n) урвал болон (γ, f) хуваагдлаар нейтрон үүсдэг. Эндээс үзэхэд микротрон нь цахилгаан соронзон долгионы энергийг их эрчимтэй электрон, гамма-квант, нейтроны ургал болгон хувиргах төхөөрөмж юм.

B. Гамма спектрометрийн систем

Гамма, рентген цацрагийн спектр судлалд Si(Li), Ge(Li), хагас дамжуулагч цэвэр германи Ge(HP) детектортой спектрометрийг өргөн хэрэглэдэг. Германи ($Z=32$) нь цахиурыг ($Z=14$) бодвол шингээлтийн коэффициент их учир германи нь γ -цацрагийг их шингээдэг. Иймд спектрометрүүдийн бүртгэх чадвартай жишигэд Ge-детектортой спекрометр нь илүү сайн байдаг. 100 cm^3 мэдрэмтгий эзлэхүүнтэй Ge(Li) детекторыг хэдэн арван кэВ-ээс хэдэн МэВ хүртэл энергитэй γ -цацрагийг бүртгэхэд хэрэглэдэг.



Зураг 2. Цэвэр германи бүхий гамма-спектрометрийн систем.

Хагас дамжуулагч спектрометрийн энэгийн ялгах чадвар нь үндсэндээ γ -цацраг детектор дундуур нэвтрэн өнгөрөхөд детекторын мэдрэмтгий эзлэхүүний аль хэсэгт цэнэг хуримтлагдсан электрон схемийн эхний хэсгийн шуугианаас хамаардаг. Энэгийн ялгах чадвар нь γ -цацрагийн энэгийс шугаман хамааралтай. 50 cm^3 эзлэхүүнтэй хагас дамжуулагч детектортой γ -спектрометрийн энэгий ялгах чадвар нь $E_\gamma = 1 \text{ МэВ} - 2 \text{ кэВ}, 3 \text{ МэВ}-3,5 \text{ кэВ}$ байдаг. Иймд γ -кванттын энэгий их болоход бүртгэх чадвар буурдаг [9]. Хагас дамжуулагч Ge детектортой гамма спектрометрийн бүтцийг зураг 2 – т үзүүлэв.

Идэвхжүүлсэн дээжүүдийг хагас дамжуулагч цэвэр германи Ge(HP) детектортой спектрометрээр хэмжиж, үр дүнг Canberra S100 болон FitzPeaks Gamma Analysis, MS EXCEL програмуудаар боловсруулав.

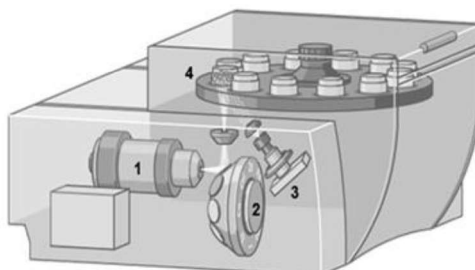
Ижил нөхцөлд хэмжсэн дээжийн болон стандартын идэвхжлийг харьцуулах замаар элементийн агуулгыг тодорхойлдог.

$$C_{\text{дээж}} = C_{\text{стан}} \frac{S_{\text{дээж}} M_{\text{стан}} \Phi_{\text{стан}}}{S_{\text{стан}} M_{\text{дээж}} \Phi_{\text{дээж}}}$$

$S_{\text{стан}}$ – стандарт дээжийн агуулга, $S_{\text{дээж}}$ ба $S_{\text{стан}}$ – стандарт, дээжийн гамма шугамын эрчим, $M_{\text{стан}}$ ба $M_{\text{дээж}}$ – стандарт, дээжийн масс, $\Phi_{\text{стан}}$ ба $\Phi_{\text{дээж}}$ – стандарт, дээж дэх бөөмийн ургалын завсар.

III. РЕНТГЕНФЛУОРЕСЦЕНЦИЙН ШИНЖИЛГЭЭ

Судалгаанд МУИС-ийн Цөмийн судалгааны төвийн өндөр мэдрэх чадвартай, энэгийр ялгах SPECTRO XEPOS рентгенфлуоресценцийн спектрометрийг ашигласан.



Зураг 3. Энэгийр ялгах SPECTRO XEPOS рентгенфлуоресценцийн спектрометрийн бүдүүвч.

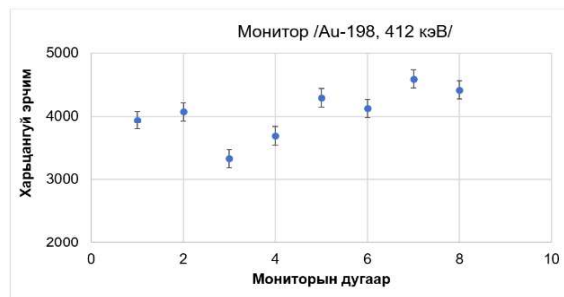
1-Рентген хоолой, 2-Найман ширхэг түйлишруулагч болон хоёрдогч бай, 3-SDD детектор, 4-Дээжийн эргэлдэг тавцур.

Төхөөрөмж нь цахилгаан хөргөлттэй бөгөөд Pd анодтой рентген хоолой, 8 ширхэг хоёрдогч болон туйлшруулагч бай, Mn K_α шугамын хувьд 155 эВ-ийн энергийн ялгах чадвартай SDD хагас дамжуулагч детектор, спектрийг тооцоолж үр дүнг боловсруулах програм хангамж бүхий компьютер зэргээс бүрддэг (Зураг 3).

IV. ТУРШИЛТ БА ҮР ДҮН

Хүдрийн дээжийг СНК-2, ПИЭН611, SL-1 гэсэн харьцуулах стандарт дээжүүдийн хамт дулааны нейтроны урсалаар 6 цаг шарж, дээж тус бүрийг 2, 20, 80 цагийн хугацааны засвартайгаар хүлээсний дараа 5, 15, 30 минутын хугацаагаар тус тус хэмжилтийг хийв. Судлах болон харьцуулах стандарт дээжийн жин ~3.5 гр байв. Дээж тус бүр дээрх дулааны нейтроны урсгалын нягтын өөрчлөлтийг 5 мкгр масстай алтан мониторуудыг ашиглан 2.69 өдрийн хагас

задралын үетэй $^{197}\text{Au}(n,\gamma)^{198}\text{Au}$ урвалын 411.8(95.5) кэВ энергитэй гамма шугамын тусламжтай тодорхойлсон (зураг 4).



Зураг 4. Нейтроны урсгалын нягтын өөрчлөлт

Полиметаллын хүдрийн дээжид нейтрон идэвхжлийн шинжилгээний аргаар тодорхойлсон элементийн дүнг хүснэгт 2 – т нэгтгэн харуулав.

Хүснэгт 2. Полиметаллын хүдрийн дээжид НИА-аар тодорхойлсон элементийн дүн

| Элемент | Дээжийн дугаар | | | | |
|---------|----------------|------------|-----------|------------|------------|
| | x3 | x9 | x10 | x12 | x19 |
| Na, ppm | 1797±533 | 1643±538 | 1693±526 | 2962±553 | 2090±534 |
| K, % | 2.61±0.51 | 2.47±0.68 | 2.83±0.70 | 3.53±0.69 | 1.61±0.60 |
| Sc, ppm | 14.4±1.7 | 30.1±2.8 | 24.0±1.9 | 17.7±2.1 | 15.3±1.7 |
| Mn, % | 0.394±0.05 | 0.624±0.06 | 0.425±0.6 | 0.290±0.05 | 0.392±0.05 |
| Fe, % | 5.50±0.33 | 9.54±0.42 | 6.56±0.38 | 4.70±0.47 | 7.51±0.37 |
| Co, ppm | 218±15 | 214±16 | 312±18 | 62±12 | 30±9 |
| Zn, % | 2.56±0.01 | 1.890±0.09 | 3.04±0.01 | 1.86±0.09 | 0.973±0.02 |
| Ga, ppm | 16.1±1.3 | 24.6±1.6 | 12.6±1.4 | 9.3±0.9 | 19.6±1.4 |
| As, ppm | 3615±27 | 5681±79 | 5156±54 | 3850±33 | 936±14 |
| Sn, ppm | 0.33±0.02 | 0.85±0.02 | 0.05±0.01 | 0.11±0.02 | 0.87±0.02 |
| Sb, ppm | 29.3±2.6 | 19.0±1.8 | 47.5±3.0 | 50.2±3.6 | 52.2±3.4 |
| Ba, ppm | 43±5 | 118±8 | 60±15 | 64±12 | 312±16 |
| La, ppm | 85.0±1.2 | 114.3±0.8 | 115.4±1.3 | 107.4±0.9 | 59.2±1.4 |
| Eu, ppm | 0.60±0.08 | 0.20±0.05 | 0.10±0.03 | 0.40±0.05 | 0.08±0.02 |
| W, ppm | 50.2±2.6 | 12.9±1.4 | 53.5±3.2 | 14.4±1.0 | 19.5±1.3 |
| Au, ppm | 0.72±0.03 | 1.00±0.04 | 0.69±0.03 | 0.11±0.02 | 0.06±0.01 |
| U, ppm | 301±3 | 473±6 | 177±5 | 231±5 | 487±8 |

Хүснэгт 2 – ээс харахад Fe, Zn, As, Co зэрэг полиметаллын үндсэн элементүүдээс гадна дагалдах элемент болох Sc, La, Eu, Au, U гэсэн ховор шорооны болон үнэт металлын агуулгыг тодорхойлов. Зарим дагалдах элементийн агуулга өндөр байгаа нь сонирхол татахуйц үр дүн юм.

Рентгенфлуоресценцийн аргаар хийсэн шинжилгээнд хүдрийн дээжүүдийг 65 мкм ширхэглэлтэй болтол бутлан тээрэмдэж, стандарт дээжүүдтэй адил нэгэн төрөл

болгосон. Стандарт болон хүдрийн дээжүүдийг 32 мм голчтой майлар ёроолтой полимер саванд жигд дарж нягтруулан хэмжилтэд бэлтгэсэн.

Хэмжилтийн хугацаа 300 секунд. Спектрийг SPECTRO XEPOS спектрометрийн X-LabPro болон рентген спектр боловсруулалтын ерөнхий программ AXIL, тооцооны MS Excel зэрэг программуудыг ашиглан боловсруулалт хийж, үр дүнг тооцоолж гаргасан (хүснэгт 3).

Хүснэгт 3. Полиметаллын хүдрийн дээжид үндсэн болон дагалдах элементийн агуулгыг РФА-ын аргаар тодорхойлсон дун ($\pm 15\%$)

| Элемент | Дээжийн дугаар | | | | |
|---------|----------------|--------|--------|--------|--------|
| | x3 | x9 | x10 | x12 | x19 |
| Si, % | 12.6 | 21.92 | 9.44 | 24.23 | 23.7 |
| K, % | 1.16 | 3.25 | 0.84 | 3.42 | 2.50 |
| Ca, % | 1.94 | 2.35 | 1.82 | 1.47 | 2.55 |
| Ti, % | 0.054 | 0.058 | 0.046 | 0.058 | 0.048 |
| Mn, % | 0.342 | 0.584 | 0.347 | 0.276 | 0.486 |
| Fe, % | 11 | 8.21 | 10.6 | 4.59 | 7.32 |
| Cu, % | 0.691 | 0.188 | 0.831 | 0.165 | 1.526 |
| Zn, % | 4.16 | 2.65 | 3.79 | 2.89 | 1.61 |
| As, % | 0.086 | 0.170 | 0.074 | 0.154 | 0.037 |
| Rb, % | 0.084 | 0.0178 | 0.056 | 0.0150 | 0.0134 |
| Sr, % | 0.064 | 0.0173 | 0.061 | 0.0103 | 0.0186 |
| Y, ppm | 26 | 8 | 21 | < DL | 3 |
| Zr, % | 0.0238 | 0.0401 | 0.0228 | 0.0432 | 0.0402 |
| Ba, % | 0.0313 | 0.0469 | 0.0373 | 0.0482 | 0.0381 |
| La, ppm | 900 | 57 | 1100 | 71 | 16 |
| Ce, ppm | 540 | 150 | 310 | 220 | 92 |
| Nd, ppm | 21 | 24 | 45 | 56 | 77 |
| Pb, % | 0.91 | 0.82 | 1.08 | 2.46 | 0.78 |
| Th, ppm | 87 | 7 | 65 | 26 | 32 |

Хүснэгтээс харахад полиметаллын хүдрийн дээжид лантан, цери, неодим зэрэг ховор шорооны элементүүдээс гадна зэс, цайр, хүнцэл, хар тугалга, төмөр зэрэг элементүүд өндөр агуулгатай байгаа нь харагдаж байна.

Зэс, цайр, хүнцлийн өндөр агуулга бүхий полиметаллын хүдрийн дээжид элемент хоорондын нөлөөг тооцсон рентгенфлуоресценцийн өвөрмөц арга шаардлагатай.

V. ДҮГНЭЛТ

Нейтрон идэвхжлийн шинжилгээгээр Fe, Zn, As, Co гэсэн үндсэн элементтээс гадна Sc, La, Eu гэсэн ховор шорооны үндсэн элемент Au, U гэсэн үнэт металлуудын агуулгыг тодорхойлов.

Рентгенфлуоресценцийн аргаар шинжилгээ хийхэд Cu, Zn, As, Fe зэрэг элемент өндөр агуулгатай байгаа нь элемент хоорондын нөлөөг тооцсон өвөрмөц арга боловсруулах шаардлагатайг харуулав.

Хэмжилтээр полиметаллын хүдрийн дээжид үндсэн элементтээс гадна Sc, Y, La, Ce, Eu, Nd зэрэг ховор шорооны элемент, алт 0.05 – 1 ppm, уран 200 – 500 ppm, тори 10 – 90 ppm агуулгатай байгааг тогтоов.

Туршилтын дүнгээс харахад атом, цөмийн физикийн аргыг хоршин уул уурхайн экспортын

бүтээгдэхүүнд нарийвчилсан шинжилгээ хийж, дагалдах үнэт ховор элементийн хэмжээг тогтоож, бүтээгдэхүүний үнэд шингээн тооцох боломжтой нь харагдаж байна.

VI. НОМ ЗҮЙ

- [1] Цөмийн цацрагийн хэрэглээ, Шинжлэх ухааны суурь судалгааны сэдэвт ажлын тайлан 2014-2016, Улаанбаатар хот, 2017 он.
- [2] P.G. Jeffrey. Chemical Methods of Rock Analysis// Pergamon Press New York, 2 nd ed.
- [3] G.F.Kirkbright, M.Sargent. Atomic Absorption and Fluorescence Spectroscopy. // Academic Press, New York, 1974.
- [4] J.J.Labrecque, J.M.Bensen, R.E.Van Grieken. Determination of Ba, La, Ce and Nd in Lateritic materials by various energy dispersive X-ray Fluorescence techniques and Neutron Activation Analysis. // X-ray spectrometry. vol.15, 13-18, 1989.
- [5] J.J. Labrecque, W.C.Parker, D.Adames. Application of an americium-241 source for the determination of barium, lanthanum and cerium in lateritic material by X-ray fluorescence. // Journal of Radioanalytical Chemistry, vol. 59, N1, 1980, p.193-201.

- [6] П.Зузаан. Исследование и разработка методик рентгенофлуоресцентного анализа природных материалов // Дисс. на соискание ученой степени кандидата физ.-мат. наук, 1985, 186 с.
- [7] P.Zuzaan, N.Gansukh, B.Dalhsuren, S.Davaa. Development and application EDXRF analysis REE in ore samples. //Тезисы докладов III Всероссийская и VI Сибирская конференция по спектральному анализу. Иркутск 6-9 октября 1998, с.
- [8] Д.Баатархүү бусад. Электроны цикл хурдасгуур, МУИС.ЭШБ, №4(137), хуудас 109-119, Улаанбаатар хот, 1998 он.
- [9] Н.Ганбаатар, С.Даваа, Ж.Сэрээтэр. Цөмийн спектр судал, МУИС Хэвлэх үйлдвэр, Улаанбаатар хот, 2006 он.